

TD N°2 : ELECTRICITE 3  
SMP S3

**Exercice I:**

**A-** On considère un solénoïde infini de rayon R, comportant n spires par unité de longueur et parcouru par un courant d'intensité I. Le champ magnétique de ce solénoïde est  $\vec{B}_e = \mu_0 n I \vec{e}_z$  (ou  $\vec{e}_z$  est le vecteur unitaire de l'axe du solénoïde). On remplit le solénoïde d'un matériau paramagnétique (LHI) de susceptibilité  $\chi_m$ .

- 1- Quelles sont les propriétés de l'aimantation  $\vec{M}$  qui apparaît dans le matériau magnétique ?
- 2- Déterminer les densités de courants d'aimantation volumique  $\vec{j}_{av}$  et surfacique  $\vec{j}_{as}$ . En déduire l'équivalent du système constitué uniquement par la matière aimanté.
- 3- Déterminer alors les expressions du champ d'aimantation  $\vec{B}_m$  créé par l'aimantation  $\vec{M}$  et du champ magnétique total dans la matière  $\vec{B}$ . Ecrire  $\vec{B}$  en fonction de  $\vec{B}_e$  et  $\chi_m$ .
- 4- Quel est l'intérêt d'utiliser un matériau paramagnétique dans le solénoïde ?
- 5- Donner l'expression de  $\vec{M}$  en fonction uniquement de  $\vec{B}_e$ ,  $\mu_0$  et  $\chi_m$ . Que devient  $\vec{M}$  si  $\vec{B}_e$  tend vers zéro.

**B -** Un barreau cylindrique constitué de matière aimanté, de rayon R et assez long pour négliger tout effet de bord, est aimanté dont le vecteur aimantation  $\vec{M}$  est  $\vec{M} = M \vec{e}_\theta$  où M est une constante et  $\vec{e}_\theta$  le vecteur unitaire de coordonnées cylindriques.

- 1- Donner les expressions des densités de courants d'aimantation  $\vec{j}_{av}$  et surfacique  $\vec{j}_{as}$  en fonction de M et indiquer sur une figure  $\vec{j}_{av}$ ,  $\vec{j}_{as}$  et  $\vec{M}$ .
- 2- Déterminer alors l'expression du champ magnétique  $\vec{B}_m$  créé par l'aimantation  $\vec{M}$  en tout point de l'espace.

**C-** Le matériau est maintenant un milieu paramagnétique LHI de susceptibilité  $\chi_m$ . On lui applique un champ magnétique extérieur uniforme  $\vec{B}_e = B_e \vec{e}_x$ .

- 1- Que peut-on dire de l'aimantation  $\vec{M}$  du matériau ?
- 2- Donner en fonction de M les expressions des courants d'aimantation.
- 3- Pourquoi ne peut-on plus calculer le champ magnétique  $\vec{B}_m$  aussi simple que dans la question B ?.

Pour déterminer  $\vec{B}_m$  on procède comme suit :

- 4- Justifier la recherche d'un potentiel vecteur colinéaire à l'axe du barreau  $\vec{A}(M) = A(r, \theta, z) \vec{e}_z$ .
- 5- Montrer que l'équation aux dérivées partielles vérifiée par ce potentiel vecteur est donnée par :  $r \frac{\partial}{\partial r} \left( r \frac{\partial A}{\partial r} \right) + \frac{\partial^2 A}{\partial \theta^2} = 0$
- 6- On supposera que  $A(r, \theta, z)$  se met sous la forme  $k_n r^n \sin \theta$  ( $k_n$  une constante et  $n \in \mathbb{Z}$ ). Résoudre cette équation (on cherchera  $k_n$  et  $n$ ) et déterminer le champ d'aimantation et l'excitation en tout point.

## Exercice II:

Une sphère de matière linéaire homogène et isotrope LHI de centre O et de rayon R, placée dans le vide, est uniformément aimantée avec le vecteur aimantation  $\vec{M} = M \vec{e}_z$ .

1-a- Déterminer la distribution de courants équivalente à cette sphère.

b- Calculer le champ d'aimantation  $\vec{B}_m$  au centre O de la sphère.

2- a- Exprimer le potentiel vecteur créé par une telle sphère sous la forme  $\vec{A}(P) = \frac{\mu_0}{4\pi} \vec{M} \wedge \vec{I}(P)$  où on exprimera  $\vec{I}(P)$  sous forme intégrale.

b- calculer cette intégrale par analogie électrostatique.

c- en déduire l'expression du champ magnétique d'aimantation en tout point de l'espace.

3- La sphère possède maintenant une cavité sphérique concentrique de rayon  $R_o$ .

a- Déterminer en tout point de l'espace le champ magnétique d'aimantation.

b- Que devient ce champ dans la cavité lorsque le centre de celle-ci ne coïncide plus avec le centre de la surface externe.

## Exercice III : Aimant permanent

On cherche à réaliser un aimant permanent au moyen d'une substance ferromagnétique pour laquelle la courbe de désaimantation (partie supérieure du cycle d'hystérésis) est donnée par la relation :  $B = \alpha \frac{H + \beta}{H + \gamma}$  où  $\alpha, \beta, \gamma$  sont positives avec  $\beta < \gamma$ .

1- relier les constantes où  $\alpha, \beta, \gamma$  à l'aimantation rémanente  $M_r$  et à l'excitation coercitive  $H_c$ .

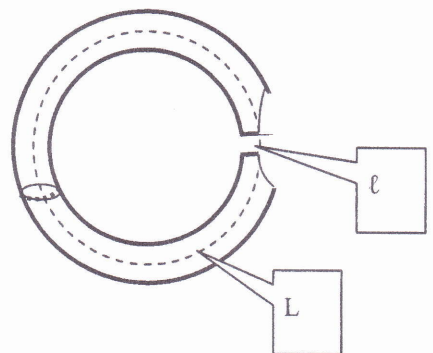
On réalise au moyen de ce matériau un aimant torique selon la géométrie ci-dessous :

On appelle S la section constante de l'aimant dans sa partie principale de longueur L. un entrefer est ménagé dans celui-ci, de longueur  $\ell$ , de section faible s. on admet que le seul effet des sections tronconiques de l'aimant est de canaliser les lignes de champ parallèlement au cercle moyen de longueur  $L + \ell$ . On appelle B et H les valeurs des champs dans le matériau ferromagnétique et b la valeur du champ dans l'entrefer.

2- exprimer le rapport des volumes  $\frac{V}{v} = \frac{SL}{s\ell}$  de l'aimant et de l'entrefer en fonction de B, H, b.

Donner les signes de B et H si  $b > 0$ .

3- pour un volume de l'entrefer v donné et un champ b donné déterminer la solution unique de l'équation que doit satisfaire H pour que la masse de l'aimant soit minimale. Donner le rapport H/B dans cette configuration en fonction de  $\alpha$ , et  $\gamma$ .



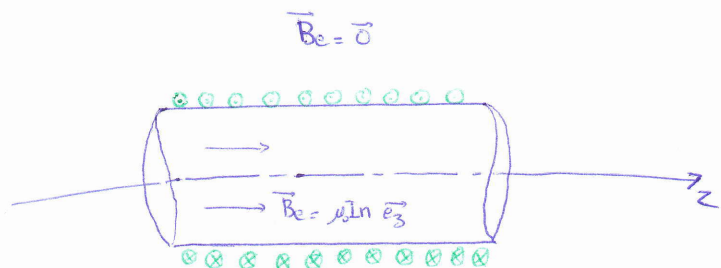
# Électricité 3: TD 2

Milieux aimantés

$M = \mu_0 M_0$

## Exercice I:

Solénoïde infini:



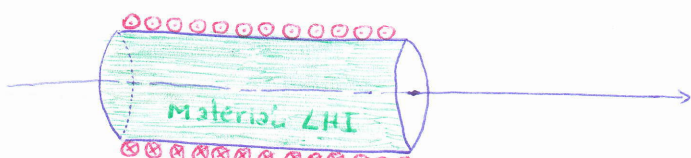
$$\vec{B}_e = \vec{0}$$

À l'intérieur du solénoïde infini on a un champ  $\vec{B}_e = \mu_0 n I \vec{e}_z$  (uniforme)

quand on remplit le solénoïde par un ~~dielectrique~~ paramagnétique Matériau

Donc le matériau se trouve placer dans le champ  $\vec{B}_{ex} = \vec{B}_e = \mu_0 n I \vec{e}_z$

Donc il va s'aimanter

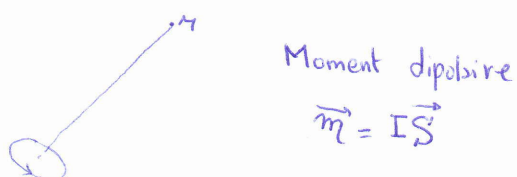


Donc il va acquérir l'aimantation  $\vec{M}$

## Rappel:

- Un milieu paramagnétique est un milieu constitué d'atomes (ou molécules) qui possèdent des dipôles non nuls

- Un dipôle est une boucle de courant de faible dimension devant le point où on calcule son effet.



À l'échelle atomique: chaque couche d'électron est équivalente à un dipôle magnétique.

## Rq:

Pour les milieux diamagnétique ( $\chi_m < 0$ )

Constitués d'atomes ne possédant pas de dipôles magnétiques

## Milieux paramagnétique ( $\chi_m > 0$ )

placé dans un champ  $\vec{B}_{ex} = \vec{B}_e = \mu_0 n I \vec{e}_z$

$\Rightarrow$  Les dipôles préexistants (de chaque atomes) vont s'orienter

Donc  $\boxed{\vec{M} = M \vec{e}_z}$

Milieu (L+I)  
placé  
dans  $\vec{B}_e$  uniforme  $\Rightarrow \vec{M}$  uniforme

$$\vec{M} = \chi_m \vec{H} \quad \chi_m > 0 \Rightarrow \vec{B}, \vec{M}, \vec{H} \text{ sont parallèles et de même sens.}$$

## 2% Densité de courants d'aimantation :

• En Volume :

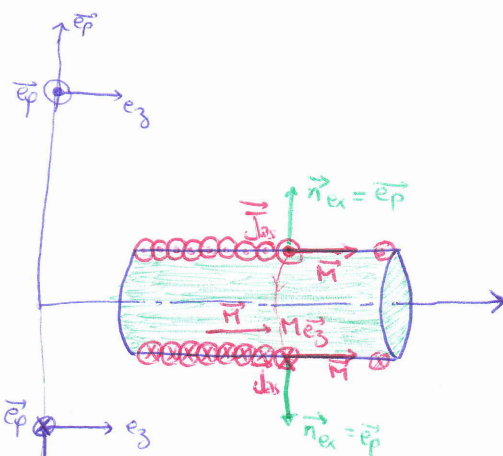
$$\vec{J}_{av} = \vec{\nabla} \cdot \vec{M}$$

• En Surface :

$$\vec{J}_{as} = \vec{M} \wedge \vec{n}_{ex}$$

•  $\vec{J}_{av} = \vec{0}$  car  $\vec{M}$  est uniforme

$$\vec{J}_{as} = M \vec{e}_z \wedge \vec{e}_p = M \vec{e}_p \quad (\text{cordées cylindriques } (\vec{e}_p, \vec{e}_\theta, \vec{e}_z))$$

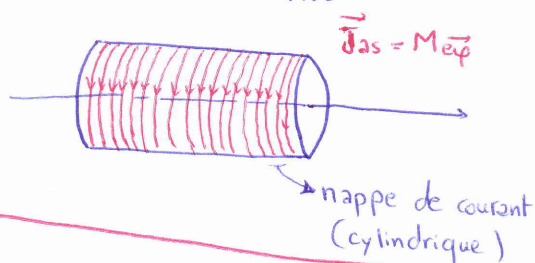


Donc

La matière aimantée  $\vec{M}$



distribution de courants surfacique de densité  $\vec{J}_{as}$  dans le vide



Rappel

$$\begin{array}{l} \parallel \text{Densité Volumique} \\ \parallel \text{(de courant)} \end{array} \vec{J}_v$$

et

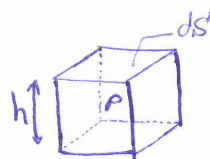
$$\begin{array}{l} \parallel \text{Densité surfacique} \end{array} \vec{J}_s$$

Analogie avec

$$\begin{array}{l} \parallel \text{Densité de charge volumique} \rho \\ \parallel \text{et} \end{array}$$

$$\begin{array}{l} \parallel \text{Densité de charge surfacique} \sigma \end{array}$$

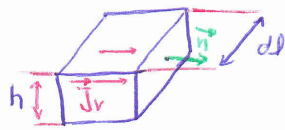
densité volumique de charge ( $\rho$ )



$$dq = \rho dV$$

quand  $h$  devient très petit  
 $\Rightarrow \rho \rightarrow \sigma$  et  $dq = \sigma dS$

densité de courant volumique  $\vec{J}_v$



$$dI = \vec{J}_v \cdot dS$$
$$= J_v h dI \vec{n}$$

Unité

$$[J_v] = A/m^2$$

$$[J_s] = A/m$$

Exemple

nappe de courant plane

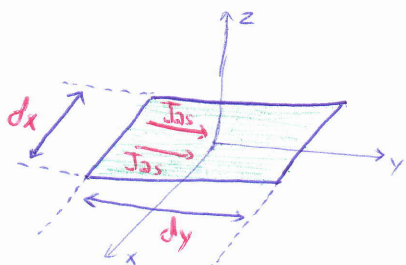
$\vec{J}_v$  traverse une surface  
quand  $h$  devient petit

$$\vec{J}_v \rightarrow \vec{J}_s$$

$$\text{et } dI = \vec{J}_s dI \vec{n}_{dp}$$



Suivant  $\vec{J}_s$



$$dI = j \hat{e}_x dI \vec{n}_{dp}$$
$$= J_s \hat{e}_x dx \hat{e}_x$$
$$dI = J_s dx$$

Résumé :

- Une densité volumique  $\vec{J}_v$  traverse une surface
- Une densité surfacique  $\vec{J}_s$  traverse une longueur

Exemple



$$dI = J_s dz$$

$$\text{ou } dI = J_s \hat{e}_z dz \hat{e}_z = J_s dz$$

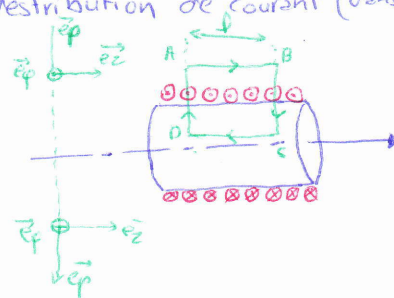
### 3/ champ magnétique d'insertion et totale

Rq: Analogie à un soleil moïde

On considère la distribution de courant (dans le vide)

Coord. cylindriques

$$VM(r, \phi, z) \quad \text{la base } (\hat{e}_r, \hat{e}_\phi, \hat{e}_z)$$



Symétrie  
et  
Invariance }  $\Rightarrow \vec{B}_m(n) = B_m(n) \vec{e}_z$

on peut appliquer le théorème d'Ampère :

Contour: Rectangle ABCDA

Théorème d'Ampère

$$\oint \vec{B} \cdot d\vec{l} = \mu_0 \sum I$$

$$\oint \vec{B} \cdot d\vec{l} = -B_m l$$

$$\sum I = ?$$

$$dI = J_{\text{as}} \cdot dl$$

$$I = J_{\text{as}} \cdot l = M \Phi$$

$$+ B_m \Phi = \mu_0 [ + M \Phi ]$$

$$\Rightarrow \boxed{B_m = \mu M} \quad \rightarrow \boxed{\vec{B}_m = \mu_0 M \vec{e}_z = \mu \vec{M}}$$

Donc à l'intérieur  $\vec{B}_m = \mu_0 \vec{M}$  uniforme

A l'extérieur

$$\boxed{\vec{B}_m = \vec{0}}$$

Donc :

En tout point M à l'intérieur du solénoïde

$$\begin{aligned} \vec{B}(M) &= \vec{B}_e + \vec{B}_m \\ &= \vec{B}_e + \mu_0 \vec{M} \end{aligned}$$

avec Milieux paramagnétique LHI  $\Rightarrow \vec{B} = \mu H$

et  $\boxed{H \stackrel{\text{Def}}{=} \frac{\vec{B}}{\mu_0} - \vec{M}}$

$$\begin{aligned} \vec{H} &= \frac{\vec{B}}{\mu_0} - \vec{M} \\ &= \mu_r \vec{H} - \vec{M} \end{aligned} \quad \Rightarrow \quad \vec{M} = (\mu_r - 1) \vec{H}$$

$$\vec{M} = \chi_m H \quad \text{ave} \quad \boxed{\chi_m = \mu_r - 1}$$

$$\text{Milieux LHI} \Rightarrow \vec{B} = \mu H$$

$$\vec{M} = \chi_m H$$

paramagnétique  $\chi_m > 0$  et faible  $\approx 10^{-3}$

diamagnétique  $\chi_m < 0 \quad \approx -10^{-3}$

$$\begin{aligned} \text{Donc } \vec{B}(m) &= \vec{B}_e + \mu \vec{M} \\ &= \vec{B}_e + \mu_0 \chi_m \vec{H} \\ &= \vec{B}_e + \chi_m \frac{\vec{B}}{\mu_0 \mu_r} \\ &= \vec{B}_e + \frac{\chi_m}{\mu_r} \vec{B} \end{aligned}$$

$$\vec{B}\left(1 - \frac{\chi_m}{\mu_r}\right) = \vec{B}_e$$

$$\vec{B}\left(1 - \frac{\chi_m}{1 + \chi_m}\right) = \vec{B}_e$$

$$\vec{B}\left(\frac{1}{1 + \chi_m}\right) = \vec{B}_e$$

$$\boxed{\vec{B}(m) = (1 + \chi_m) \vec{B}_e}$$

#### 4/ Intérêt d'utilisation d'un matériau paramagnétique :

Intérêt : légère augmentation de  $\vec{B}$  à l'intérieur du solénoïde.

et par suite légère augmentation de l'inductance propre ( $L$ ) du solénoïde

#### 5% ~~$\vec{M} = \chi_m \vec{H}$~~

$$\begin{aligned} \vec{M} &= \chi_m \vec{H} = \chi_m \frac{\vec{B}}{\mu} \\ &= \frac{\chi_m}{\mu_0 (1 + \chi_m)} (1 + \chi_m) \vec{B}_e \end{aligned}$$

$$\boxed{\vec{M} = \frac{\chi_m}{\mu_0} \vec{B}_e}$$

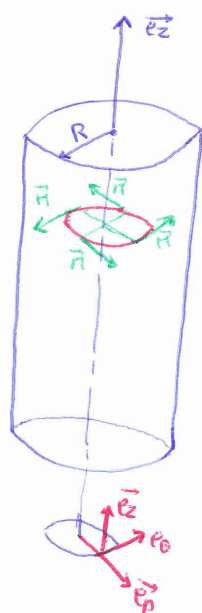
$$\text{Si } \vec{B}_e \rightarrow \vec{0} \Rightarrow \vec{M} \rightarrow \vec{0}$$

quand on supprime  $\vec{B}_e$ , le matériau perd son aimantation  $M$  (Il ne reste plus aimanté)

#### Par contre :

Dans un ferromagnétique on supprime  $B_e$  ( $B_e \rightarrow 0$ ), le matériau reste aimanté ( $H \neq 0$ )  
l'aimantation qui reste s'appelle aimantation rémanente.  
On obtient aussi un electroaimant permanent (Aimant obtenu à partir de l'électricité)

## Partie B: Cylindre Infinité long Aimanté $\vec{M} = M \vec{e}_\theta$ ( $M = \text{cte}$ ).



Coordonnées cylindrique  $M(r=\rho, \theta, z)$  base local en  $M$  ( $\vec{e}_\rho, \vec{e}_\theta, \vec{e}_z$ )

1° Matériau  
Aimanté  
 $\vec{M} = M \vec{e}_\theta \Rightarrow$  Courant d'Aimantation

\* En Surface:

$$\vec{J}_{as} = \vec{M} \wedge \vec{n}_e \quad \text{avec } \vec{n}_e = \vec{e}_\rho$$

$$\vec{J}_{as} = \vec{M} \vec{e}_\theta \wedge \vec{e}_\rho$$

$$\boxed{\vec{J}_{as} = -M \vec{e}_z}$$

\* En volume:

$$\vec{J}_{av} = \vec{\text{rot}} \vec{M}$$

$$\vec{M} \left| \begin{array}{l} M_r = 0 \\ M_\theta = M \\ M_z = 0 \end{array} \right.$$

Expression de  $\vec{\text{rot}}$  En coord. cylindrique:

$$\text{Si } \vec{A} \left| \begin{array}{l} A_r \\ A_\theta \\ A_z \end{array} \right.$$

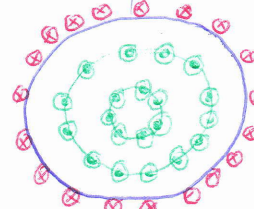
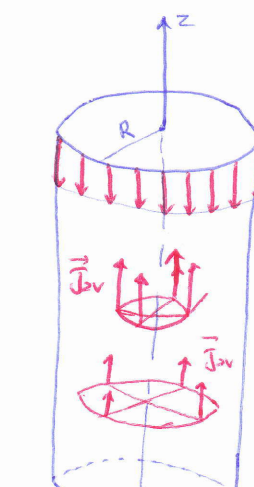
$$\begin{aligned} \vec{\text{rot}} \vec{A} &= \frac{1}{r} \left[ \frac{\partial A_z}{\partial \theta} - r \frac{\partial (r A_\theta)}{\partial z} \right] \vec{e}_r \\ &+ \left( \frac{\partial A_r}{\partial z} - \frac{\partial A_z}{\partial r} \right) \vec{e}_\theta \\ &+ \frac{1}{r} \left[ \frac{\partial}{\partial r} (r A_\theta) - \frac{\partial A_r}{\partial \theta} \right] \vec{e}_z \end{aligned}$$

$$\vec{\text{rot}} \vec{R} = 0 \vec{e}_r + 0 \vec{e}_\theta + \frac{1}{r} \left[ \frac{\partial}{\partial r} (r M) - 0 \right] \vec{e}_z$$

$$\vec{\text{rot}} \vec{M} = \frac{M}{r} \vec{e}_z$$

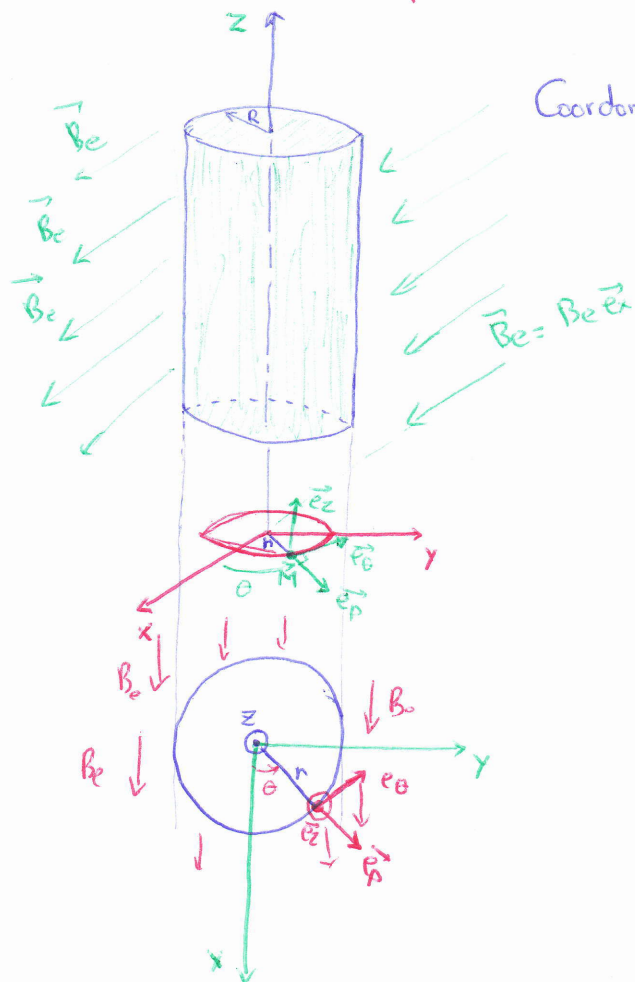
$$\boxed{\vec{J}_{av} = \frac{M}{r} \vec{e}_z}$$

$$\boxed{\vec{J}_{av} = J_{av}(r) \vec{e}_z}$$



## Partie C: Matériau cylindrique infiniment long paramagnétique LHI

placé dans un champ uniforme  $\vec{B}_e = B_e \vec{e}_x$



Coordonnées Cylindrique  $H1(p=r, \theta, z)$

base locale en  $M$   $(\vec{e}_p, \vec{e}_\theta, \vec{e}_z)$

1/ Matériau LHI placé dans un champ uniforme

$$\vec{B}_e = B_e \vec{e}_x$$

$\Rightarrow$  Alimentation  $\vec{M}$  uniforme

$$\Rightarrow \boxed{\vec{M} = M \vec{e}_x}$$

2/ Matériau alimenté  $\vec{M}$   $\Rightarrow$  Apparition de courant d'alimentation de densité :

• En volume

$$\vec{J}_{av} = \vec{F}_{tot} \vec{M} = \vec{0}$$

( $\vec{M}$  uniforme)

$\Rightarrow$  Pas de courants en volume.

• En surface :

$$\begin{aligned} \vec{J}_{as} &= \vec{M} \wedge \vec{n}_s \\ &= M \vec{e}_x \wedge \vec{e}_p \end{aligned}$$

$$\begin{aligned} \vec{n}_s &= \vec{e}_p \\ &= \cos \theta \vec{e}_x + \sin \theta \vec{e}_y \end{aligned}$$

$$A_{br} \quad \vec{e}_x \wedge \vec{e}_p = \sin \theta \vec{e}_z$$

$$\Rightarrow \boxed{\vec{J}_{as} = M \sin \theta \vec{e}_z}$$

Remarque:

$\vec{J}_{as}$  n'est pas uniforme dépend de  $\theta$

entre  $0$  et  $\pi$   $\sin \theta > 0$

entre  $\pi$  et  $2\pi$   $\sin \theta < 0$

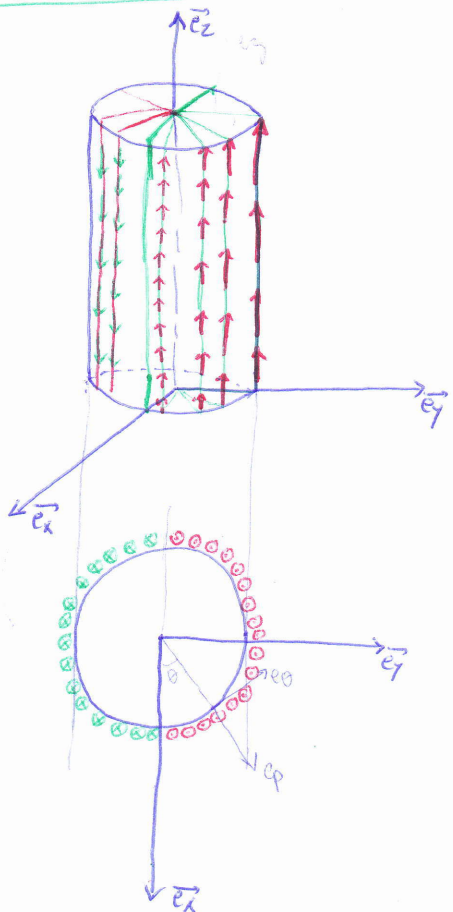
Exemple  $0 \leq \theta \leq \pi$

$\theta$	$0$	$\frac{\pi}{6}$	$\frac{\pi}{4}$	$\frac{\pi}{3}$	$\frac{\pi}{2}$	$\pi$
$\sin \theta$	$0$	$\frac{1}{2}$	$\frac{\sqrt{2}}{2}$	$\frac{\sqrt{3}}{2}$	$1$	$0$
$\vec{J}_{as} = M \sin \theta \vec{e}_z$	$\vec{0}$	$\frac{M}{2} \vec{e}_z$	$\frac{M\sqrt{2}}{2} \vec{e}_z$	$\frac{M\sqrt{3}}{2} \vec{e}_z$	$M \vec{e}_z$	$\vec{0}$

Pour  $\pi < \theta < 2\pi$

on aura des courants surfacique vers le bas

### Représentation des courants :



### 3% • Etude de la symétrie

Cordonnées cylindrique  $M(r, \theta, z)$   
 $(\vec{e}_r, \vec{e}_\theta, \vec{e}_z)$

- $\forall M$  le plan  $(\vec{e}_r, \vec{e}_\theta, \vec{e}_z)$

ni symétrie ni antisymétrie

- $\forall M$  le plan  $(\vec{e}_r, \vec{e}_\theta)$  est un plan de antisymétrie

$\Rightarrow \vec{B}(M) \in$  à ce plan  $\rightarrow \vec{B}(M) = B_p(r, \theta, z) \vec{e}_r + B_\theta(r, \theta, z) \vec{e}_\theta$   
 et  $\vec{A}(M) \perp$  à ce plan  $\rightarrow \vec{A}(M) = A_z(r, \theta, z) \vec{e}_z$

- Invariance :

Il y'a juste invariance suivant  $z$

$$\Rightarrow \vec{B}(M) = \vec{B}(r, \theta)$$

$$A(M) = \vec{A}(r, \theta)$$

Pour le champ  $\vec{B} \Rightarrow \vec{B}(M) = B_p(r, \theta) \vec{e}_r + B_\theta(r, \theta) \vec{e}_\theta$

$\Rightarrow$  On ne connaît pas la forme des lignes de champs

$\Rightarrow$  Donc on ne peut pas appliquer le Théorème d'Ampère

car il n'y a pas de symétrie.

4/  $\vec{A}(M) = A_z(r, \theta) \hat{e}_z$  d'après l'étude de la symétrie et l'invariance (invariant suivant z)  $\left( \frac{\partial}{\partial z} = 0 \right)$

5/ Rappel:

Equation de Poisson et Equation de Laplace en Electrostatique et Magnétostatique.

Electrostatique	Magnétostatique
$\vec{E} = -\vec{\text{grad}} V$	$\vec{B} = \vec{\text{rot}} \vec{A}$
Forme Locale du Th. Gauss	Forme locale du Th. Ampère
$\text{div } \vec{E} = \frac{P}{\epsilon_0} \rightarrow$ densité volumique de charges	$\vec{\text{rot}} \cdot \vec{B} = \mu_0 \vec{j}_v \rightarrow$ (densité de courant volumique)
$\text{div}(-\vec{\text{grad}} V) = \frac{P}{\epsilon_0}$	$\vec{\text{rot}} \cdot (\vec{\text{rot}} \vec{A}) = \mu_0 \vec{j}_v$
$-\Delta V = \frac{P}{\epsilon_0}$	$\text{grad}(\text{div} \vec{A}) - \Delta \vec{A} = \mu_0 \vec{j}_v$
$\boxed{\Delta V + \frac{P}{\epsilon_0} = 0}$ Equation de Poisson	$\boxed{\text{div} \vec{A} = 0}$ (Joule de Colombe) Magnétostatique
quand $P=0$	$\boxed{\Delta \vec{A} + \mu_0 \vec{j}_v = \vec{0}}$ Equation de poisson.
$\boxed{\Delta V = 0}$ Equation de Laplace	quand $\vec{j}_v = \vec{0}$ $\boxed{\Delta \vec{A} = \vec{0}}$ Equation de Laplace.
<u>Analogie :</u>	
$\vec{E} \longrightarrow \vec{B}$	
$V \longrightarrow \vec{A}$	
$P \longrightarrow \vec{j}_v$	
$\epsilon_0 \longrightarrow \frac{1}{\mu_0}$	

Ici on n'a pas de courant volumique  
donc on utilise l'équation de Laplace  $\Delta \vec{A} = \vec{0}$

Rq:  $\Delta F$ : Laplacien scalaire

$$\text{si: } F = F(x, y, z) \quad \Delta F = \frac{\partial^2 F}{\partial x^2} + \frac{\partial^2 F}{\partial y^2} + \frac{\partial^2 F}{\partial z^2}$$

$\Delta \vec{A}$ : Laplacien vecteur

$$\Delta \vec{A} \left| \begin{array}{l} \Delta A_x = \frac{\partial^2 A_x}{\partial x^2} + \frac{\partial^2 A_x}{\partial y^2} + \frac{\partial^2 A_x}{\partial z^2} \\ \Delta A_y = \frac{\partial^2 A_y}{\partial x^2} + \frac{\partial^2 A_y}{\partial y^2} + \frac{\partial^2 A_y}{\partial z^2} \\ \Delta A_z = \frac{\partial^2 A_z}{\partial x^2} + \frac{\partial^2 A_z}{\partial y^2} + \frac{\partial^2 A_z}{\partial z^2} \end{array} \right\} \Rightarrow \Delta \vec{A} = \Delta A_x \hat{e}_x + \Delta A_y \hat{e}_y + \Delta A_z \hat{e}_z$$

Ici pour calculer  $\vec{\text{rot}} \vec{A}$  en coordonnées cylindrique

on va utiliser la formule

$$\vec{\text{rot}}(\vec{\text{rot}} \vec{A}) = \underbrace{\text{grad}(\text{div} \vec{A})}_{\vec{0}} - \vec{\Delta} \vec{A}$$

$$\vec{\text{rot}}(\vec{\text{rot}} \vec{A}) = -\vec{\Delta} \vec{A}$$

$$\text{Si } \vec{\Delta} \vec{A} = \vec{0} \quad \Rightarrow \quad \vec{\text{rot}}(\vec{\text{rot}} \vec{A}) = \vec{0}$$

Expression de  $\vec{\text{rot}}$  en coordonnées cylindrique :

$$\text{Si } \vec{A} \left| \begin{array}{l} A_r \\ A_\theta \\ A_z \end{array} \right.$$

$$\boxed{\vec{\text{rot}} \vec{A} = \frac{1}{r} \left[ \frac{\partial A_z}{\partial \theta} - \frac{\partial (r A_\theta)}{\partial z} \right] \vec{e}_p + \left[ \frac{\partial A_r}{\partial z} - \frac{\partial A_z}{\partial r} \right] \vec{e}_\theta + \frac{1}{r} \left[ \frac{\partial (r A_\theta)}{\partial r} - \frac{\partial A_r}{\partial \theta} \right] \vec{e}_z}$$

$$\text{Ici on a } \vec{A} \left| \begin{array}{l} A_r = 0 \\ A_\theta = 0 \\ A_z = A(r, \theta) \end{array} \right.$$

$$\vec{\text{rot}} \vec{A} = \frac{1}{r} \left[ \frac{\partial A_z}{\partial \theta} - 0 \right] \vec{e}_p + \left[ 0 - \frac{\partial A_z}{\partial r} \right] \vec{e}_\theta + \frac{1}{r} \left[ 0 - 0 \right] \vec{e}_z$$

$$\underbrace{\vec{\text{rot}} \vec{A}}_{\vec{A}'} = \frac{1}{r} \left[ \frac{\partial A_z}{\partial \theta} \right] \vec{e}_p - \frac{\partial A_z}{\partial r} \vec{e}_\theta$$

$$\vec{A}' = \vec{\text{rot}} \vec{A} \quad \text{or} \quad \vec{A}' \left| \begin{array}{l} A'_r = \frac{1}{r} \left( \frac{\partial A_z}{\partial \theta} \right) \\ A'_\theta = -\frac{\partial A_z}{\partial r} \\ A'_z = 0 \end{array} \right.$$

$$\vec{\text{rot}} \vec{A}' = \vec{\text{rot}}(\vec{\text{rot}} \vec{A}) = \frac{1}{r} \left[ 0 - 0 \right] \vec{e}_p + \left[ 0 - 0 \right] \vec{e}_\theta + \frac{1}{r} \left[ \frac{\partial}{\partial r} \left( r \left( -\frac{\partial A_z}{\partial r} \right) \right) - \frac{\partial}{\partial \theta} \left( \frac{1}{r} \left( \frac{\partial A_z}{\partial \theta} \right) \right) \right] \vec{e}_z = \vec{0}$$

$$\frac{1}{r} \left[ \frac{\partial}{\partial r} \left( r \frac{\partial A_z}{\partial r} \right) + \frac{1}{r} \frac{\partial^2 A_z}{\partial \theta^2} \right] \vec{e}_z = \vec{0}$$

$$x r^2 \Rightarrow$$

$$\boxed{r \frac{\partial}{\partial r} \left( r \frac{\partial A_z}{\partial r} \right) + \frac{\partial^2 A_z}{\partial \theta^2} = 0}$$

5%

On cherche les solutions sous forme  $A(r, \theta, z) = k_n r^n \sin \theta$  avec  $k_n = \text{cte}$  et  $n \in \mathbb{Z}$

On  ~~$\frac{\partial A}{\partial r}$~~

$$\boxed{r \frac{\partial}{\partial r} \left( r \frac{\partial A}{\partial r} \right) + \frac{\partial^2 A}{\partial \theta^2} = 0}$$

$$\frac{\partial A}{\partial r} = k_n n r^{n-1} \sin \theta$$

$$r \frac{\partial A}{\partial r} = k_n n r^n \sin \theta$$

$$\frac{\partial}{\partial r} \left( r \frac{\partial A}{\partial r} \right) = k_n n^2 r^{n-1} \sin \theta$$

$$r \frac{\partial}{\partial r} \left( r \frac{\partial A}{\partial r} \right) = k_n n^2 r^n \sin \theta$$

$$\frac{\partial A}{\partial \theta} = k_n r^n \cos \theta$$

$$\frac{\partial}{\partial \theta} \left( \frac{\partial A}{\partial \theta} \right) = -k_n r^n \sin \theta$$

$$k_n n^2 r^n \sin \theta - k_n r^n \sin \theta = 0$$

$$A(r, \theta, z) = k_n r^n \sin \theta$$

$$\cancel{k_n n^2 r^n \sin \theta} = \cancel{k_n r^n \sin \theta} \Rightarrow n^2 = 1$$

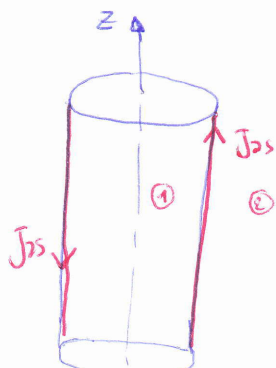
$$\Rightarrow n = \pm 1$$

Donc les solutions sont

$$n=1 \rightarrow A_1 = k_1 r \sin \theta$$

$$n=-1 \rightarrow A_{-1} = k_{-1} \frac{\sin \theta}{r}$$

On a un barreau



On distingue deux zones

- Zone ① : à l'intérieur du barreau ( $r < R$ )
- Zone ② : à l'extérieur du barreau ( $r > R$ )

Cherchons la solution valable pour chaque zone.

Pour ça on prend quelques points particuliers.

• Zone ①:  $r < R$

on prend  $r=0$  sur l'axe

$$\begin{cases} A_1 \text{ valable} & A_1 = 0 \\ A_2 \text{ non valable} & A_2 = \infty \end{cases}$$

• Zone ②:  $r > R$

on prend  $r \rightarrow \infty$

$$\begin{cases} A_1 \rightarrow \infty & \text{non valable} \\ A_2 \rightarrow 0 & \text{valable} \end{cases}$$

Donc à l'intérieur du barreau ) On prend  $A(M) = K_1 r \sin\theta \vec{e}_z$

à l'extérieur du barreau ) On prend  $A(M) = K_1 \frac{\sin\theta}{r} \vec{e}_z$

Champ  $\vec{B}_{\text{aim}}$  → on utilise  $\vec{B}_{\text{aim}}(M) = \vec{\text{rot}} A_{\text{aim}}(M)$

ici on a  $\vec{A} \begin{cases} A_r = 0 \\ A_\theta = 0 \\ A_z = A(r, \theta) \end{cases}$

Cordonnées cylindrique base  $(\vec{e}_r, \vec{e}_\theta, \vec{e}_z)$

$$\vec{\text{rot}} \vec{A} = \frac{1}{r} \left[ \frac{\partial A_z}{\partial \theta} - r \frac{\partial A_\theta}{\partial z} \right] \vec{e}_r + \left[ \frac{\partial A_r}{\partial z} - \frac{\partial A_z}{\partial r} \right] \vec{e}_\theta + \frac{1}{r} \left[ \frac{\partial (r A_\theta)}{\partial r} - \frac{\partial A_r}{\partial \theta} \right] \vec{e}_z$$

$$\boxed{\vec{\text{rot}} \vec{A} = \frac{1}{r} \left( \frac{\partial A_z}{\partial \theta} \right) \vec{e}_r - \frac{\partial A_z}{\partial r} \vec{e}_\theta}$$

A l'intérieur du barreau  $r < R$

$$\vec{A}_{\text{aim}}(M) = K_1 r \sin\theta \vec{e}_z$$

$$\vec{B}_{\text{aim}}(M) = \vec{\text{rot}} \vec{A}_{\text{aim}}(M) = \frac{1}{r} \left[ \frac{\partial A_z}{\partial \theta} \right] \vec{e}_r - \frac{\partial A_z}{\partial r} \vec{e}_\theta$$

$$\vec{B}_{\text{aim}}(M) = K_1 \cos\theta \vec{e}_r - K_1 \sin\theta \vec{e}_\theta = K_1 \left[ \cos\theta \vec{e}_r - \sin\theta \vec{e}_\theta \right]$$

$$\boxed{\vec{B}_{\text{aim}}(M) = K_1 \vec{e}_x}$$

A l'extérieur du barreau  $r > R$

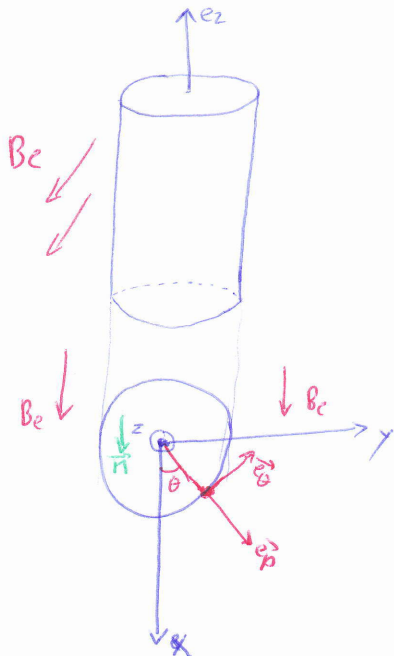
$$\vec{A}_{\text{aim}}(M) = K_1 \frac{\sin\theta}{r} \vec{e}_z$$

$$\vec{B}_{\text{aim}}(M) = \frac{1}{r} \left[ \frac{\partial A_z}{\partial \theta} \right] \vec{e}_r - \frac{\partial A_z}{\partial r} \vec{e}_\theta$$

$$\vec{B}_{\text{aim}}(M) = \frac{1}{r^2} K_1 \cos\theta \vec{e}_r + \frac{K_1}{r^2} \sin\theta \vec{e}_\theta$$

$$\vec{B}_{\text{aim}}(M) = \frac{K_1}{r^2} \left[ \cos\theta \vec{e}_r + \sin\theta \vec{e}_\theta \right]$$

$$\boxed{\vec{B}_{\text{aim}}(M) = \frac{K_1}{r^2} \vec{e}_x}$$



### Remarque:

$$\vec{B}(M) = \vec{B}_e + \vec{B}_{\text{aim}} \quad \text{Par superposition}$$

$$\vec{H}(M) = \vec{H}_e + \vec{H}_{\text{aim}}$$

$$= \frac{\vec{B}_e}{\mu_0} + \frac{\vec{B}_{\text{aim}} + M}{\mu_0}$$

$$\vec{H} = \frac{\vec{B}}{\mu_0} - \vec{M}$$

à l'extérieur  $\vec{M} = \vec{0}$

### intérieur (continu)

$$\vec{H}_{\text{aim}}(M) = \frac{\vec{B}_{\text{aim}}}{\mu_0} - \vec{M}$$

$$\vec{H}_{\text{aim}}(M) = \frac{K_1}{\mu_0} \vec{e}_x - M \vec{e}_x = \left( \frac{K_1}{\mu_0} - M \right) \vec{e}_x$$

$$\vec{H}_{\text{aim}}(M) = \left( \frac{K_1}{\mu_0} - M \right) [ \cos \theta \vec{e}_p - \sin \theta \vec{e}_\theta ]$$

### extérieur (continu) $\vec{M} = \vec{0}$

$$\vec{H}(M) = \frac{\vec{B}_{\text{ext}}}{\mu_0}$$

$$\vec{H}_{\text{ext}}(M) = \frac{K_1}{\mu_0 r^2} [ \cos \theta \vec{e}_p + \sin \theta \vec{e}_\theta ]$$

### Les Composantes

$$\vec{B}_{\text{int}} \begin{cases} B_p = K_1 \cos \theta \\ B_\theta = -K_1 \sin \theta \\ B_z = 0 \end{cases}$$

$$\vec{B}_{\text{ext}} \begin{cases} B_p = \frac{K_1}{r^2} \cos \theta \\ B_\theta = \frac{K_1}{r^2} \sin \theta \\ B_z = 0 \end{cases}$$

$$\vec{H}_{\text{int}} \begin{cases} H_p = \left( \frac{K_1}{\mu_0} - M \right) \cos \theta \\ H_\theta = -\left( \frac{K_1}{\mu_0} - M \right) \sin \theta \\ H_z = 0 \end{cases}$$

$$\vec{H}_{\text{ext}} \begin{cases} H_p = \frac{K_1}{\mu_0 r^2} \cos \theta \\ H_\theta = \frac{K_1}{\mu_0 r^2} \sin \theta \\ H_z = 0 \end{cases}$$

Pour déterminer les constantes  $K_1$  et  $M$ , on utilise les relations de passage à la surface de séparation entre les deux zones.

Ici on n'a pas de courants réels sur la surface de séparation

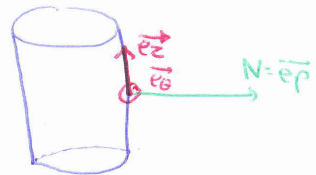
Continuité de la composante tangentielle de  $\vec{H}$

$$[(H_\theta)_{\text{int}} = (H_\theta)_{\text{ext}}]_{r=R} \quad (1)$$

$$(H_z)_{\text{int}} = (H_z)_{\text{ext}} = 0 \quad \checkmark \text{ vérifier}$$

- Composantes Normale suivent  $\vec{e}_p$

- Composante Tangentiel suivent  $\vec{e}_\theta$  et  $\vec{e}_z$



- Continuité de la composante Normal de  $\vec{B}$  (toujour)

$$\left[ (B_e)_{int} = (B_e)_{ext} \right]_{r=R} \quad \textcircled{2}$$

$$\textcircled{1} \Rightarrow -\left(\frac{K_1}{\mu_0} - M\right) \sin\theta = \frac{K_1}{\mu_0 R^2} \sin\theta$$

$$M - \frac{K_1}{\mu_0} = \frac{K_1}{\mu_0 R^2}$$

$$\textcircled{2} \Rightarrow K_1 \cos\theta = \frac{K_1}{R} \cos\theta \implies K_1 = \frac{K_1}{R^2}$$

$$\implies M = \frac{K_1}{\mu_0 R^2} = \frac{K_1}{\mu_0 R^2}$$

$$M = \frac{\mu_0 K_1}{\mu_0 R^2}$$

$$K_1 = \frac{\mu_0 M R^2}{g}$$

et  $K_1 = \frac{\mu_0 M}{g}$

Donc finalement

- A l'intérieur:

$$\vec{B}_{ai}(M) = \frac{\mu_0 M}{g} \vec{e}_x = \frac{\mu_0 \vec{M}}{g}$$

$$\boxed{\quad}$$

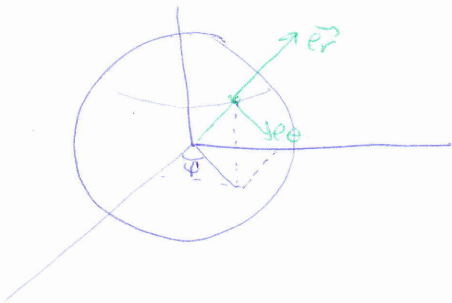
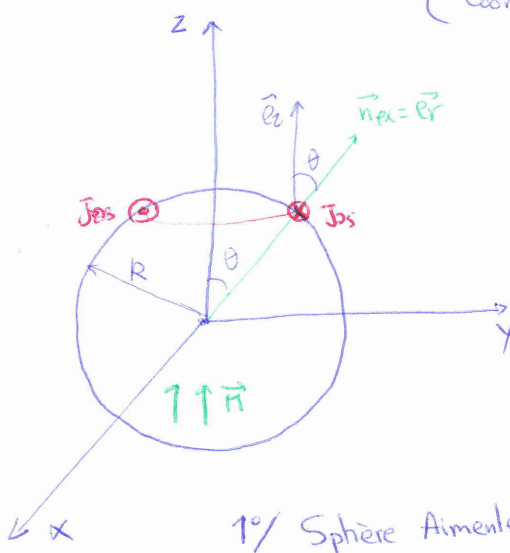
- A l'extérieur:

$$\vec{B}_{ext}(M) = \frac{\mu_0 M R^2}{g r^2} [\cos\theta \vec{e}_p + \sin\theta \vec{e}_\theta]$$

## Exercice II

Sphère Aimanté uniformement  $\vec{M} = M \vec{e}_z$

(Coordonnées sphériques,  $\forall n$ ,  $(\vec{O}n = r, \theta, \varphi)$ , base  $(\vec{e}_r, \vec{e}_{\theta}, \vec{e}_{\varphi})$ )



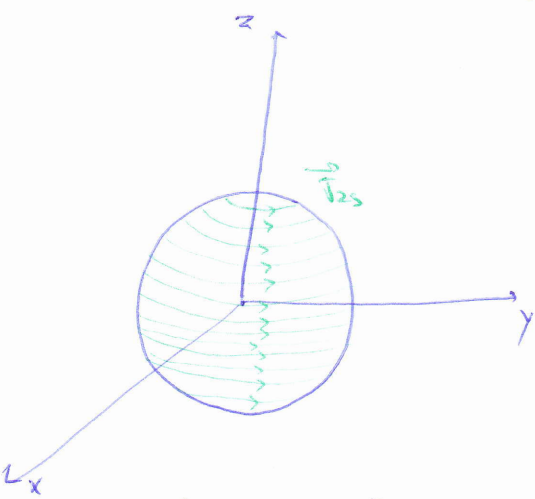
1/ Sphère aimanté  $\vec{M}$   $\Rightarrow$  Apparition de courant d'alimentation

- En volume

$$\vec{J}_{av} = \vec{\nabla} \cdot \vec{M} = 0 \quad (\vec{M} \text{ uniforme}) \text{ pas de courant en surface}$$

- En surface

$$\begin{aligned} J_{0s} &= \vec{M} \cdot \vec{n}_{ex} & \vec{n}_{ex} &= \vec{e}_r \\ &= M \vec{e}_z \cdot \vec{e}_r & & \\ &= M \sin \theta \vec{e}_{\varphi} & & \end{aligned}$$



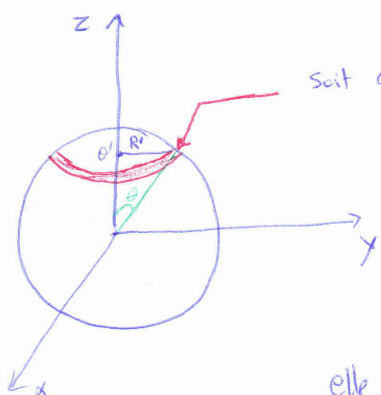
Remarque:

$J_{0s}$  n'est pas uniforme

Pour chaque  $\theta$  on a un  $J_{0s}$

(On ne peut pas appliquer le Théorème d'Ampère pour calculer  $\vec{B}$ )

b- Calcul de  $B_m$  au point O.



Soit cette couronne, on l'assimile à une spire de centre O' de Rayon

$$R' = R \sin \theta$$

$$\text{Parcouru par un courant } dI = J_{0s} dr$$

$$= J_{0s} \cdot R' dr$$

$$= M \sin \theta R' dr$$

$$\text{elle crée en O le champ élémentaire } d\vec{B}_m(O) = \frac{\mu_0 dI}{2R'} \sin^3 \theta \vec{e}_z$$

$$\begin{aligned}\vec{B}(0) &= \frac{\mu_0 I}{2R^1} \sin^3 \theta \vec{e}_z \\ &= \frac{\mu_0 M \sin \theta R d\theta}{2R \sin \theta} \sin^3 \theta \vec{e}_z \\ &= \frac{\mu_0 M}{2} \sin^3 \theta d\theta \\ \vec{B}(0) &= \frac{\mu_0 M}{2} \int_0^\pi \sin^3 \theta d\theta\end{aligned}$$

$$\begin{aligned}I &= \int_0^\pi \sin \theta (1 - \cos^2 \theta) d\theta \\ &= \int_0^\pi \sin \theta d\theta + \int_0^\pi -\sin \theta \cos^2 \theta d\theta \\ &= -[\cos \theta]_0^\pi + \frac{1}{3} [\cos^3 \theta]_0^\pi \\ &= -(-2) + \frac{1}{3} (-2) \\ &= 2 - \frac{2}{3} = \frac{4}{3}\end{aligned}$$

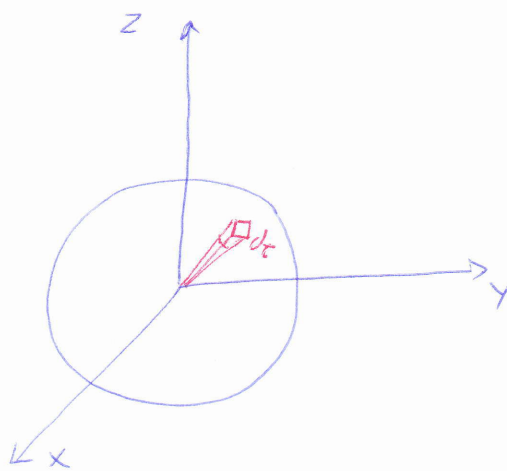
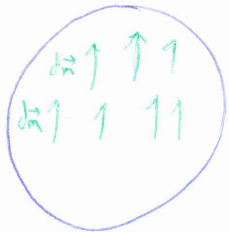
$$\boxed{\vec{B}_m(0) = \frac{2\mu_0 M}{3} \vec{e}_z = \frac{2}{3} \mu_0 \vec{M}}$$

chaque élément de volume  $d\tau$

se comporte comme un élément de volume  
un dipôle magnétique  $d\vec{m}$

$$dm = M d\tau$$

$$\vec{M} = \frac{d\vec{m}}{d\tau}$$



2% Méthode Analogique à celle d'une sphère polarisée  $\vec{P}$  (TD N°1)

$$\begin{aligned}&\text{sphère polarisée } \vec{P} \\ &\vec{P} = \frac{d\vec{P}}{d\tau}\end{aligned}$$

$$\begin{aligned}&\text{sphère formée de dipôles élémentaires } d\vec{p} \\ &\text{fig ①} \quad \equiv \quad \text{fig ②} \\ &\text{Gp: } P_{\text{ext}} = 0 \\ &\text{distribution de charge}\end{aligned}$$

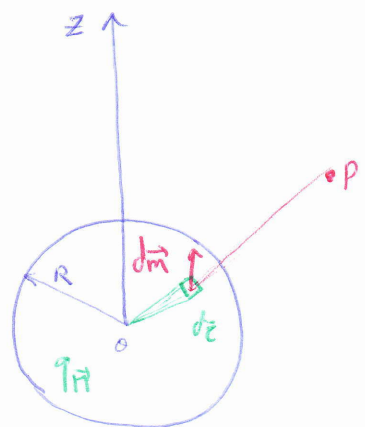
On considère la sphère aimantée ( $\vec{M} = \frac{d\vec{m}}{d\tau}$ ) comme étant une sphère pleine de dipôles magnétiques  
chaque élément  $d\tau$  contient un dipôle magnétique

$$d\vec{m} = \vec{M} d\tau$$

Soit un élément de volume  $d\tau(A)$  centré sur A

→ il crée en P, le potentiel élémentaire

$$d\bar{A}(P) = \frac{\mu_0}{4\pi} \frac{d\vec{m} \wedge \vec{AP}}{AP^3} \quad \text{avec } d\vec{m} = \vec{M} d\tau$$



$M$  uniforme  $\Rightarrow$   $d\bar{A}(P) = \frac{\mu_0}{4\pi} \frac{\vec{M} d\tau \wedge \vec{AP}}{AP^3}$

$$\bar{A}(P) = \frac{\mu_0}{4\pi} \vec{M} \wedge \iiint d\tau \frac{\vec{AP}}{AP^3}$$

$\bar{I}(P)$

$$\boxed{\bar{I}(P) = \iiint d\tau(A) \frac{\vec{AP}}{AP^3}}$$

$$\bar{I}(P) = \iiint \left( \frac{P}{4\pi\epsilon_0} \right)^{-1} \frac{d\tau \vec{AP}}{AP^3}$$

$\vec{E}_p$ : champ fictif

d'une sphère de rayon R  
chargée uniformément  
avec  $\frac{P}{4\pi\epsilon_0} = 1$

$\vec{E}_p$  champ fictif facile à calculer:

en applique le théorème de Gausse.

Symétrie sphérique



$$\vec{E}_p(r) = E_p(r) \hat{r}$$

## Surface de Gausse :

sphère de rayon  $r$

- A l'intérieur :  $r < R$

### Th. Gausse

$$E_p(r) \times 4\pi r^2 = \frac{p \frac{4\pi}{3} r^3}{\epsilon_0}$$

$$E_p(r) = \frac{pr}{3\epsilon_0}$$

$$p = 4\pi\epsilon_0$$

$$E = \frac{4\pi}{3} r$$

$$\vec{E}(p) = \frac{4\pi}{3} r \hat{e}_r = \frac{4\pi}{3} r \vec{r}$$

- A l'extérieur :  $r > R$

### Th. Gausse

$$E_p(r) \times 4\pi r^2 = \frac{p \frac{4\pi}{3} R^3}{\epsilon_0}$$

$$E_p(r) = \frac{p R^3}{3 \epsilon_0 r^2} = \frac{4\pi}{3} \frac{R^3}{r^2}$$

$$\vec{E}(p) = \frac{4\pi}{3} \frac{R^3}{r^2} \hat{e}_r = \frac{4\pi R^3}{3} \frac{\vec{r}}{r}$$

c]

- A l'intérieur :  $r < R$ :

$$\vec{I}(p) = \vec{E}(p) = \frac{4\pi}{3} r \hat{e}_r = \frac{4\pi}{3} \vec{r}$$

$$\text{Donc } \vec{A}(p) = \frac{\mu_0 M}{4\pi} \lambda \vec{E}(p)$$

$$= \frac{\mu_0 M}{4\pi} \vec{e}_z \lambda \frac{4\pi}{3} r \hat{e}_r$$

$$= \frac{\mu_0 M r}{3} (\vec{e}_z \lambda \hat{e}_r)$$

$$\boxed{\vec{A}(p) = \frac{\mu_0 M r}{3} \sin\theta \hat{e}_\phi}$$

$$\Rightarrow \vec{B}_p = \vec{\text{rot}} \vec{A}(p)$$

Expression de  $\vec{\text{rot}}$  En Coordonnées sphériques

$$\vec{\text{rot}} \vec{A} = \frac{1}{r \sin\theta} \left[ \frac{\partial A_\phi \sin\theta}{\partial \theta} - \frac{\partial A_r}{\partial \phi} \right] \vec{e}_r + \frac{1}{r \sin\theta} \left[ \frac{\partial A_r}{\partial \phi} - \sin\theta \frac{\partial (r A_\phi)}{\partial r} \right] \vec{e}_\theta + \frac{1}{r} \left[ \frac{\partial (r A_\theta)}{\partial r} - \frac{\partial A_r}{\partial \theta} \right] \vec{e}_\phi$$

$$\vec{A} \left| \begin{array}{l} A_r = 0 \\ A_\theta = 0 \\ A_\phi = A(r, \theta) \end{array} \right.$$

Donc

$$\vec{\text{rot}} \vec{A} = \frac{1}{r \sin\theta} \left[ \frac{\partial A_\phi \sin\theta}{\partial \theta} \right] \vec{e}_r - \frac{1}{r} \frac{\partial (r A_\phi)}{\partial r} \vec{e}_\theta$$

$$\vec{\text{rot}} \vec{A} = \frac{1}{r \sin\theta} \left[ \frac{\partial}{\partial \theta} \left( \frac{\mu_0 M r}{3} \sin^2\theta \right) \vec{e}_r - \frac{1}{r} \frac{\partial}{\partial r} \left( \frac{\mu_0 M r^2}{3} \sin\theta \right) \vec{e}_\theta \right]$$

$$= \frac{1}{r \sin\theta} \left[ \frac{\mu_0 M r}{3} 2 \sin\theta \cos\theta \right] \vec{e}_r - \frac{1}{r} \frac{\mu_0 M}{3} r \sin\theta \vec{e}_\theta$$

$$= \frac{2}{3} \mu_0 M \left( \cos\theta \vec{e}_r - \sin\theta \vec{e}_\theta \right) \vec{e}_z$$

$$\Rightarrow \vec{B}(p) = \frac{2}{3} \mu_0 M \vec{e}_z = \frac{2}{3} \mu_0 \vec{M}$$

Remarque :

$\vec{B}_m$  est uniforme

resultat identique à celui trouvé à la 1<sup>er</sup> question  $\vec{B}(o) = \frac{2}{3} \mu_0 \vec{M}$

● A L'extérieur  $r > R$  :

$$\vec{I}(p) = \vec{E}(p) = \frac{4\pi}{3} \frac{R^3}{r^2} \vec{e}_r = \frac{4\pi}{3} \frac{R^3 \vec{r}}{r^3}$$

$$\vec{A}(p) = \frac{\mu_0}{4\pi} \vec{M} \wedge \vec{E}(p) = \frac{\mu_0 M R^3}{3 r^2} \sin\theta \vec{e}_\phi$$

$$\vec{A}(p) = \frac{\mu_0}{4\pi} \vec{M} \wedge \frac{4\pi}{3} \frac{R^3 \vec{r}}{r^3} = \left( \frac{\mu_0 R^3}{3} \frac{\vec{M} \wedge \vec{r}}{r^3} \right) \textcircled{*}$$

\* elle a la forme du potentiel d'un dipôle magnétique

Le moment résultant de la sphère de centre O et rayon R

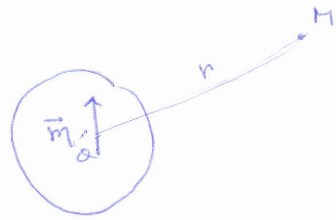
$$d\vec{m} = \vec{M} d\tau$$

$$\vec{m} = \vec{M} \iiint d\tau = M \cdot \frac{4\pi R^3}{3}$$

$$\vec{M} = \frac{3\vec{m}}{4\pi R^3}$$

$$\vec{A}(P) = \frac{\mu_0 R^3}{3} \frac{3\vec{m} \wedge \vec{r}}{4\pi R^3 r^3} = \frac{\mu_0}{4\pi} \frac{\vec{m} \wedge \vec{r}}{r^3}$$

avec  $\vec{m} = \frac{4\pi R^3}{3} \vec{M}$



Rq:

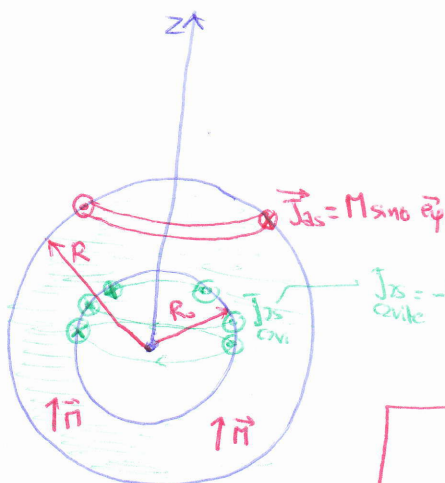
A l'extérieur ( $r > R$ )

la sphère se comporte comme un seul dipôle de moment  $\vec{m} = \vec{M} \cdot \frac{4}{3}\pi R^3$

$$\vec{B}(P) = \vec{\nabla} \times \vec{A}$$

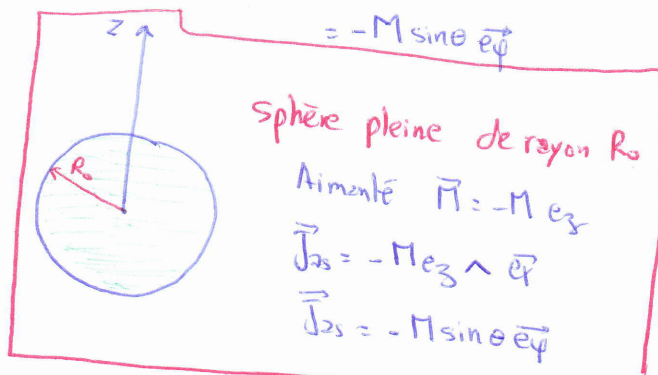
$$= \frac{\mu_0}{3} M \frac{R^3}{r^3} (\cos \theta \hat{e}_r + \sin \theta \hat{e}_\theta)$$

3°)



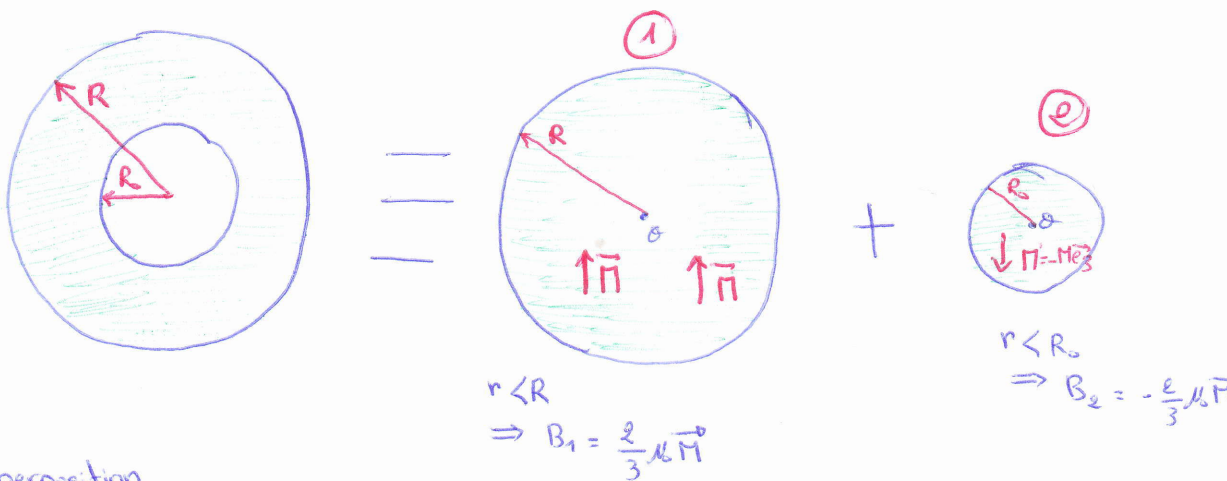
Apparition de courant surfacique sur la paroi de la cavité

$$\begin{aligned} \vec{J}_{as} &= \vec{M} \wedge \vec{n}_{ex} = M \hat{e}_z \wedge (-\hat{e}_r) \\ &= -M \sin \theta \hat{e}_\phi \end{aligned}$$



Sphère pleine de rayon R

$$\begin{aligned} \text{Aimanté } \vec{M} &= -M \hat{e}_z \\ \vec{J}_{as} &= -M \hat{e}_z \wedge \hat{e}_r \\ \vec{J}_{as} &= -M \sin \theta \hat{e}_\phi \end{aligned}$$



### Par superposition

En tout point  $P$  on a superposition de deux champ

- Si  $r < R_0$

a l'intérieur soit ①  
a l'intérieur de ② )  $\Rightarrow \vec{B} = \vec{B}_1 + \vec{B}_2 = \vec{0}$

- Si  $R_0 < r < R$

on est a l'intérieur de ①  
et a l'extérieur de ② )  $\Rightarrow \vec{B} = \vec{B}_1 + \vec{B}_2$

- Si  $r > R$

on a l'extérieur de ① et ②  $\Rightarrow$